

鋼管によるコンクリートの側方拘束に関する一考察

岐阜大学 正員 小林 和夫

1. まえがき

本報告はコンクリート充填管(鋼管内にコンクリートを充填したもの)が中心軸圧縮荷重を受ける場合の圧縮耐力を検討したものである。この場合、荷重の増加とともに従ひずみが増大するとコンクリートの横ひずみが鋼管のそれより大きくなり、コンクリートの横変形が鋼管により拘束される。このためコンクリートは側方より圧縮応力を受けて三軸応力状態となり、一方、鋼管には軸方向応力と同時にフープテンションが作用する。この応力状態における充填管の圧縮耐力は、コンクリートと鋼管の圧縮耐力を単純に加算して求めることには問題があり、それより大きくなる¹⁾としている。こでは、以上の実験結果に入れて充填管の圧縮耐力を推定する一つの方法について検討した。

2. 充填管の圧縮耐力の一算定法

いま、コンクリートの横方向変形が鋼管によって拘束されるために生ずる拘束圧を γ とすれば、破壊時におけるコンクリートの圧縮応力 σ_c' は次式で与えられる。

$$\sigma_c' = \sigma_c + k\gamma p \quad (1)$$

ここで、 σ_c はコンクリートの一軸圧縮強度、 k は側方より圧縮応力を受けて場合の軸方向強度の増加を表す係数である。

一方、鋼管には軸方向応力 σ_s' と同時に、拘束圧 γ による $\sigma_t = \frac{\gamma}{t} p$ (t : 鋼管の半径、 t : 鋼管の肉厚)なる大きさのフープテンションが作用している。いま、鋼管の破壊が剪断ひずみエネルギー説へ従うものと仮定すれば、 σ_s' と σ_t の間に次の関係が存在する。

$$(\sigma_s' - \frac{\gamma}{t} p)^2 + \sigma_t^2 + (\frac{\gamma}{t} p)^2 = 2\sigma_{sy}^2 \quad (2)$$

ただし、 σ_{sy} は鋼管の降伏強度を示し、 σ_s' は引張応力を正としている。

式(2)より、 σ_s' を求める。

$$\sigma_s' = \frac{\gamma}{2t} p \pm \sqrt{\sigma_{sy}^2 - \frac{3}{4}(\frac{\gamma}{t} p)^2} \quad (3)$$

$$\text{ただし}, \quad 0 \leq p \leq \frac{2t}{\sqrt{3}} \frac{\gamma}{r} \sigma_{sy} \quad (4)$$

なお、この場合のようないくつかの圧縮荷重を対象とする場合には、拘束圧が存在しない($p=0$)とき $\sigma_s' = -\sigma_{sy}$ であるから式(3)の(±)符号のうち、(+)の方を採用する。

つぎに、中心軸荷重を受ける充填管の圧縮耐力(座屈は考へない)は次式で表わされる。

$$P = A_c \sigma_c' - A_s \sigma_s' = \pi r^2 \sigma_c' - 2\pi r t \sigma_s' = \pi r^2 \left(\sigma_c' - \frac{2t}{r} \sigma_{sy} \right) \quad (5)$$

式(5)に式(1)、(3)を代入すると、圧縮耐力 P として次式(6)を得る。

$$P = \pi r^2 \left[\sigma_c + (k-1)p + \frac{2t}{r} \sqrt{\sigma_{sy}^2 - \frac{3}{4}(\frac{\gamma}{t} p)^2} \right] \quad (6)$$

式(6)のようなく、充填管の圧縮耐力 P は鋼管に対する拘束圧 p の函数となるが、いま P を p で微分すると、

$$\frac{dP}{dp} = \pi r^2 \left[\left\{ (k-1) \sqrt{\sigma_{sy}^2 - \frac{3}{4}(\frac{\gamma}{t} p)^2} - \frac{3}{2} \left(\frac{\gamma}{t} p \right) \right\} \right] / \sqrt{\sigma_{sy}^2 - \frac{3}{4}(\frac{\gamma}{t} p)^2} \quad (7)$$

dP/dp の値は、コンクリートの品質、側方圧等によって変化する。一般的には $k=2 \sim 6$ の範囲にありながら式(6)の P は次式(8)の p のとき最大値となり、充填管の圧縮耐力はこの p を式(6)に代入するこ

して求めうる。

$$P = \frac{2}{3} \frac{t}{r} \frac{(k-1)}{\sqrt{1+(k-1)^2/3}} \bar{b}_{xy} = (0.6 \sim 1.1) \frac{t}{r} \bar{b}_{xy} < \frac{2}{\pi^2} \frac{t}{r} \bar{b}_{xy} = 1.15 \frac{t}{r} \bar{b}_{xy}$$

$$(式(4)より P \leq \frac{2}{\pi^2} \frac{t}{r} \bar{b}_{xy})$$
(8)

一方、コンクリートと鋼管の圧縮耐力を単純に加算した場合の耐力は次式で与えられる。

$$P = \pi r^2 (\bar{b}_c + \frac{2t}{r} \bar{b}_{sg})$$
(9)

3. 計算例と試験値との比較

こゝでは、文献3)に報告されてゐるデータに基づいて上記の式(6)および(9)から充填管の圧縮耐力を計算し、試験値と比較することにする。試験値はコンクリートならびにモルタルを充填した2種類について報告されており、各自次のようである。

{コンクリートの場合: $\phi 10 \times 20 \text{ cm}$, $t=0.28 \text{ mm}$, $\bar{b}_{xy}=29.6 \text{ kg/mm}^2$

モルタルの場合: $\phi 5 \times 10 \text{ cm}$, $t=0.28 \text{ mm}$, $\bar{b}_{xy}=29.1 \text{ kg/mm}^2$

各自に対する数値計算の結果を表-1に、子た計算値と試験値を比較したものと図-1に示す。

表-1から、鋼管に対するコンクリートの横変形の拘束を考慮した充填管の圧縮耐力は他の値と相異するといふのがわかる。コンクリートのkの値に関しては種々報告されていて前記のように $k=2 \sim 6$ の範囲にあれば、一般に倒方圧が小さい場合には $k=5 \sim 6$ といわれてゐる。

こゝで取上げた試験体に対する拘束圧Pの計算値(式(8)による)は表-1のよう $\approx 20 \text{ kg/cm}^2$ 程度となり、図-1に示すように $k=6$ と仮定すると式(6)の計算値は試験値とかなり良く合致する。一方、コンクリートと鋼管の耐力を単純に加算した式(9)の値は安全側にすぎないようである。

表-1 (1) コンクリート充填の場合

拘束を考慮した場合		拘束を考慮しない場合	
k	P (式(8)) (kg/cm^2)	$P/\pi r^2$ (式(6)) (kg/cm^2)	$P/\pi r^2$ (式(9)) (kg/cm^2)
2	9.5	$\bar{b}_c + 38$	
3	14.4	$\bar{b}_c + 51$	
4	16.5	$\bar{b}_c + 66$	$\bar{b}_c + 33$
5	17.5	$\bar{b}_c + 83$	
6	18.0	$\bar{b}_c + 101$	

(2) モルタル充填の場合

拘束を考慮した場合		拘束を考慮しない場合	
k	P (式(8)) (kg/cm^2)	$P/\pi r^2$ (式(6)) (kg/cm^2)	$P/\pi r^2$ (式(9)) (kg/cm^2)
2	18.7	$\bar{b}_c + 75$	
3	28.4	$\bar{b}_c + 99$	
4	32.5	$\bar{b}_c + 130$	$\bar{b}_c + 65$
5	34.5	$\bar{b}_c + 164$	
6	35.5	$\bar{b}_c + 198$	

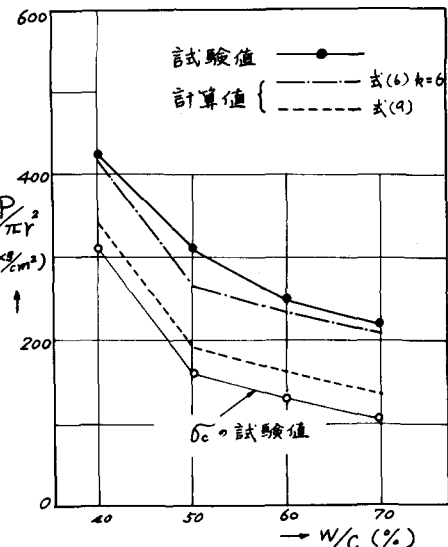
文献
1) P.K.Neogi: The structure engineer, No.5, Vol.47, May 1969

2) C.W.Martin: ACI Journal, October 1968

3) 施工載: 日本技術年報, XXIII, 1968

図-1 充填管の圧縮耐力

(1) コンクリート充填の場合



(2) モルタル充填の場合

(i) 空気中養生 (ii) 水中養生

